

# ВЛИЯНИЕ ВЫХОДНОЙ ЕМКОСТИ ТРАНЗИСТОРА И ПОТЕРЬ В НАГРУЗОЧНОЙ ЦЕПИ НА КПД УСИЛИТЕЛЯ КЛАССА F<sub>3</sub>

Ефимович А.П.

Донецкий национальный университет, г. Донецк

Важным параметром который необходимо учитывать при проектировании любого усилителя мощности (УМ) являются активные потери в нагрузочной цепи. В работе [1] для УМ класса F<sub>3</sub> была предложена нагрузочная цепь (секция 1 на рис. 1) позволяющая учесть выходную емкость транзистора ( $C_{out}$ ). С целью обеспечения возможности независимой настройки нагрузочных импедансов  $Z(f_0)$  и  $Z(3f_0)$  на первой и третьей гармониках, в [2] было предложено к секции 1 подключать секцию 2 (рис. 1). Где  $L_5C_4$  – контур настроенный на  $3f_0$ ,  $C_5$  – разделительный конденсатор. Элементы  $C_6$ ,  $L_6$  и  $C_7$  образуют П-контура трансформирующий на  $f_0$  нагрузочное сопротивление транзистора ( $R$ ) в сопротивление нагрузки ( $R_{LOAD}$ ). Значения элементов секции 1 рассчитываются как [1]

$$L_3 = 1/(6\omega_0^2 C_{out}), \quad L_4 = 5/3(L_3), \quad C_2 = 12/5(C_{out}) \quad (1)$$

где  $\omega_0 = 2\pi f_0$ ,  $f_0$  – рабочая частота,  $C_3$  – разделительный конденсатор.

В [3] было показано, что за счет емкостного импеданса  $Z(nf_0) = -jX_{Cout}/n$  создаваемого  $C_{out}$  на высших гармониках можно при  $X_{Cout} \geq R$  ( $1/\omega_0 C_{out} \geq R$ ) дополнительно повысить стоковый КПД ( $\eta_D$ ) УМ класса F<sub>3</sub>. Это достигалось за счет образовавшихся высших гармоник напряжения сток-исток, которые уменьшали перекрытие форм тока и напряжения на кристалле транзистора.

Расчетные значения  $L_3$ ,  $L_4$ ,  $C_2$  в (1) зависят в первую очередь от выбора  $C_{out}$ . Поэтому представляет интерес рассмотреть влияние на  $\eta_D$  не только величины  $C_{out}$  но и активных потерь  $L_3$ ,  $L_4$ , которые не учтены в (1). На рис. 1 показана схема УМ класса F<sub>3</sub> используемого в моделировании. Моделирование выполнялось методом гармонического баланса. В моделировании использовалась упрощенная модель полевого транзистора 2N7000L. Напряжение питания было равно  $V_{DD} = 25$  В. Напряжение смещения  $V_{GG} = 1,86$  В обеспечивало угол отсечки 90°. Рабочая частота была равна  $f_0 = 13,56$  МГц. Нагрузочный импеданс был задан  $Z(f_0) = R = 200$  Ом. Активные потери в катушках учитывались с помощью последовательно включенных сопротивлений  $R_L$  (рис. 1). Для анализа работы УМ использовалась величина добротности катушек  $Q_L = X_L/R_L$ . Где  $X_L = \omega_0 L$ . Величины добротностей  $Q_{L3}$  и  $Q_{L4}$  были заданы постоянными 100 и 120. Поскольку  $L_3$  и  $L_4$  не зависят от выбора  $C_{out}$ . Особый интерес представляют добротности  $Q_{L3}$  и  $Q_{L4}$  для  $L_3$  и  $L_4$  расчетанных при различных  $C_{out}$ . Значения  $Q_{L3}$  и  $Q_{L4}$  выбирались равными. Для удобства величина  $C_{out}$  учитывалась путем сравнения  $X_{Cout}$  со значением  $R$ , как это было сделано в [3]. В случае когда когда  $X_{Cout} = (5-10)R$  уменьшение  $Q_{L3}$  и  $Q_{L4}$  незначительно снижало  $\eta_D$  (рис. 2). Когда  $X_{Cout} = (0,1-1)R$  даже при  $Q_{L3} = Q_{L4} = (50-100)$  наблюдалось существенное снижение  $\eta_D$  (рис. 2). Это объясняется тем, что с ростом  $C_{out}$  в секции 1 происходит возрастание резонансных токов протекающих в индуктивностях. В свою очередь это приводит к генерации мощности потерь на  $R_{L3}$  и  $R_{L4}$ .

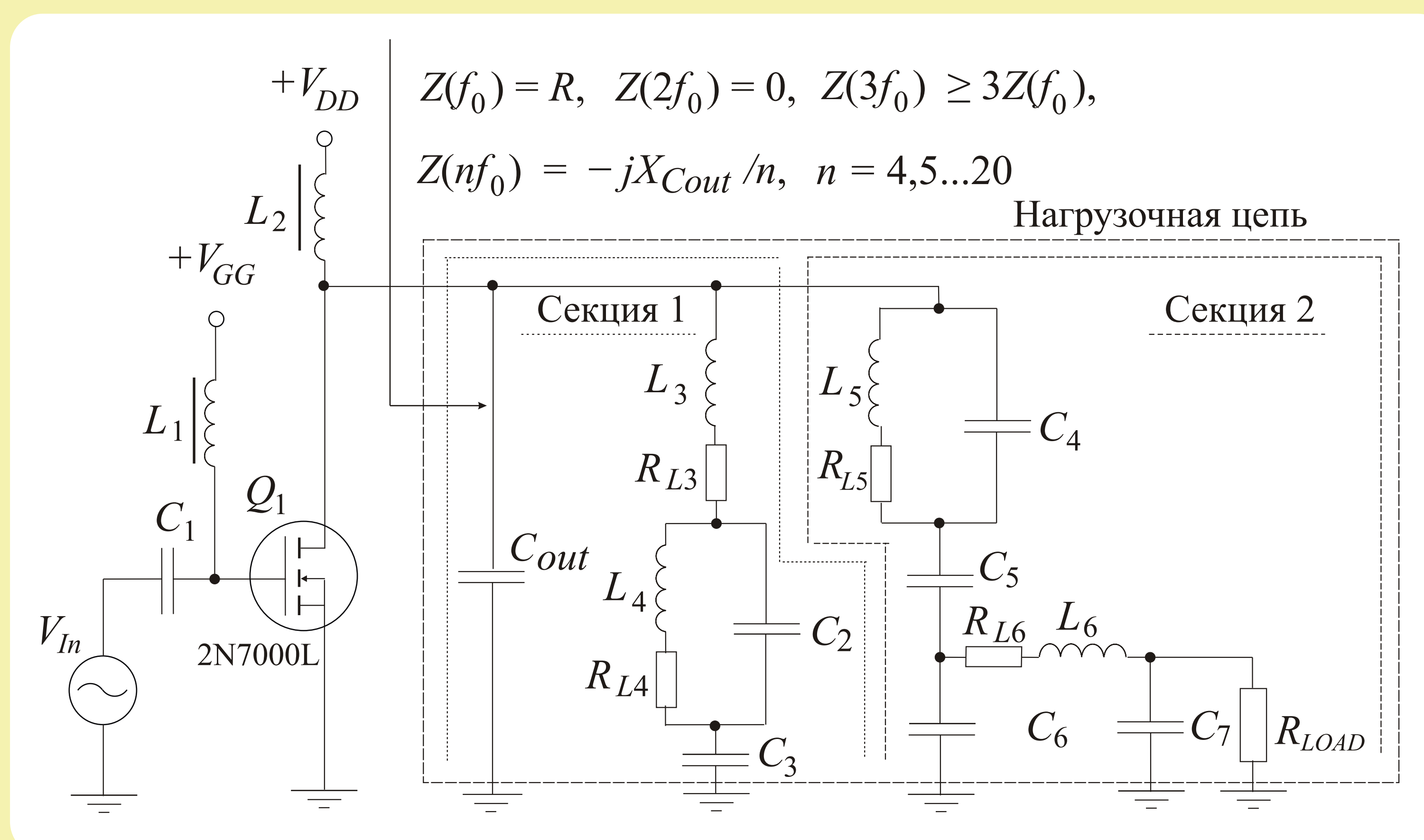


Рис. 1. Принципиальная схема исследуемого УМ класса F<sub>3</sub>

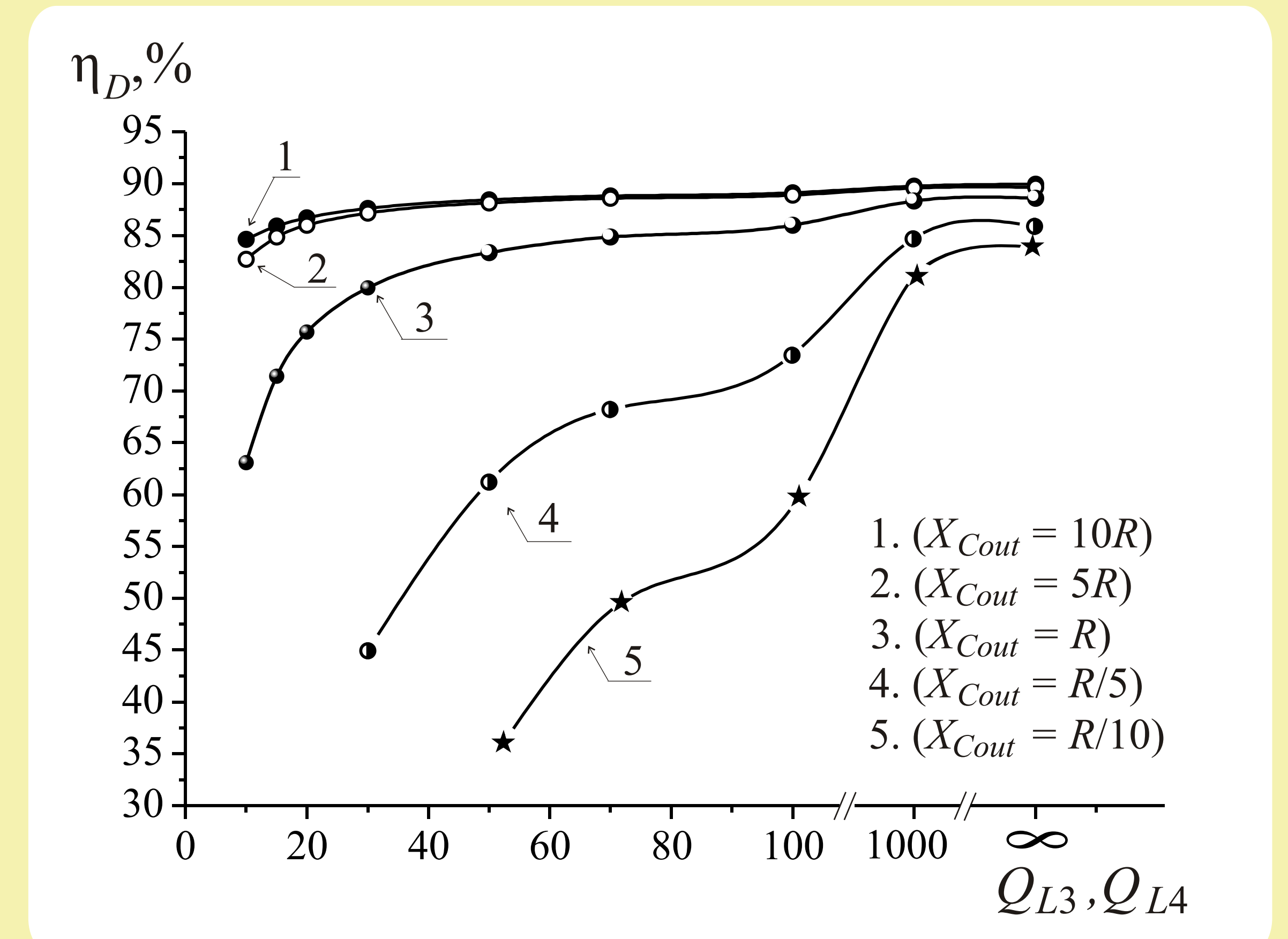


Рис. 2. Зависимость  $\eta_D$  УМ класса F<sub>3</sub> от величин  $Q_{L3}$ ,  $Q_{L4}$  и  $X_{Cout}$

Таким образом для получения высокого  $\eta_D$  в УМ класса F<sub>3</sub> необходимо использовать транзисторы с малыми выходными емкостями значения, которых обеспечивают выполнение условия  $X_{Cout} > R$ . При этом с ростом  $X_{Cout}$  происходит расширение (в сторону уменьшения добротности) диапазона значений  $Q_{L3}$  и  $Q_{L4}$  при которых может быть получен высокий  $\eta_D$ .

## СПИСОК ЛИТЕРАТУРЫ

1. Grebennikov A.V. Circuit design technique for high efficiency class F amplifiers // Proc. of IEEE MTT-S Int. Microwave Symp. Digest. – 2000. – Vol. 2. – P. 771-774.
2. Yefymovich A., Krizhanovski V. Design load network for class-F amplifier // Proc. of Int. Conf. Modern Telecommunications and Computer Science «Problems of Radio Engineering». Lviv-Slavskie . – 2014. – P. 206.
3. Ефимович А. П., Крыжановский В. Г. Исследование энергетических характеристик насыщенного усилителя класса F // Радиотехника: всеукр. межвед. науч.-техн. сб. ХНУРЭ. – 2014. – № 178. – С. 84 – 92.